

# 第四章 放大电路的频率响应

§ 4.1 频率响应的有关概念

§ 4.2 晶体管的高频等效电路

§ 4.3 放大电路的频率响应

## § 4.1 频率响应的有关概念

一、本章要研究的问题

二、高通电路和低通电路

三、放大电路中的频率参数

## 一、研究的问题

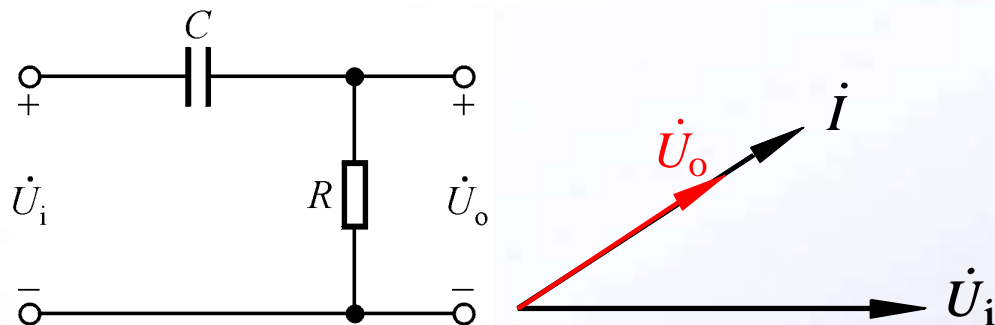
放大电路对信号频率的适应程度，即信号频率对放大倍数的影响。

由于放大电路中耦合电容、旁路电容、半导体器件极间电容的存在，使放大倍数为频率的函数。

在使用一个放大电路时应了解其信号频率的适用范围，在设计放大电路时，应满足信号频率的范围要求。

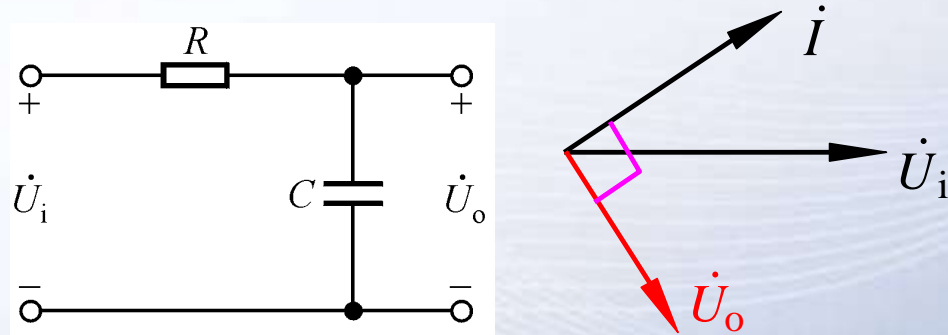
## 二、高通电路和低通电路

1. 高通电路: 信号频率越高, 输出电压越接近输入电压。



$\dot{U}_o$ 超前 $\dot{U}_i$ , 当 $f \rightarrow 0$ 时;  
 $|\dot{U}_o| \rightarrow 0$ ,  $\dot{U}_o$ 超前 $\dot{U}_i 90^\circ$ .

2. 低通电路: 信号频率越低, 输出电压越接近输入电压。



$\dot{U}_o$ 滞后 $\dot{U}_i$ , 当 $f \rightarrow \infty$ 时;  
 $|\dot{U}_o| \rightarrow 0$ ,  $\dot{U}_o$ 滞后 $\dot{U}_i 90^\circ$ .

使输出电压幅值下降到70.7%, 相位为 $\pm 45^\circ$ 的信号频率为截止频率。

## 4.1.2 频率响应的基本概念

### 一、高通电路

$$\dot{A}_u = \frac{\dot{U}_o}{\dot{U}_i} = \frac{R}{R + \frac{1}{j\omega C}}$$

$$= \frac{1}{1 + \frac{1}{j\omega RC}}$$

$$\text{令: } f_L = \frac{1}{2\pi RC} = \frac{1}{2\pi \tau_L}$$

$$\dot{A}_u = \frac{1}{1 + \frac{1}{j\omega \tau_L}} = \frac{1}{1 + \frac{f_L}{jf}} = \frac{j \frac{f}{f_L}}{1 + j \frac{f}{f_L}}$$

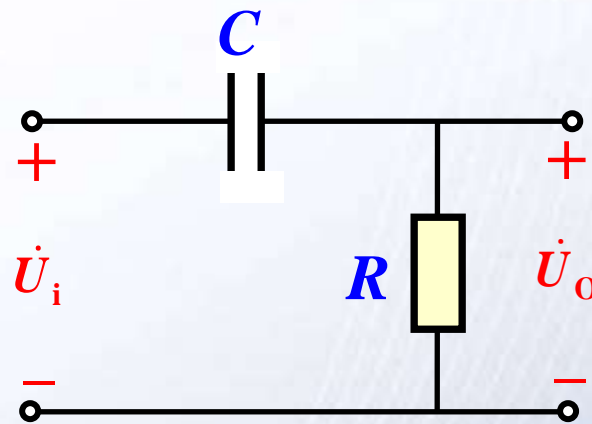


图 4.1.1 (a) RC 高通电路

$$\text{模: } |\dot{A}_u| = \frac{\frac{f}{f_L}}{\sqrt{1 + \left(\frac{f}{f_L}\right)^2}}$$

$$\text{相角: } \varphi = 90 - \arctan\left(\frac{f}{f_L}\right)$$

$f_L$  称为下限截止频率

$$|\dot{A}_u| = \frac{\frac{f}{f_L}}{\sqrt{1 + \left(\frac{f}{f_L}\right)^2}}$$

放大电路的对数频率特性称为波特图。

则有：

$$20\lg|\dot{A}_u| = 20\lg\frac{f}{f_L} - 20\lg\sqrt{1 + \left(\frac{f}{f_L}\right)^2}$$

$$\text{当 } f \gg f_L \text{ 时, } 20\lg|\dot{A}_u| \approx 0 \text{ dB}$$

$$\text{当 } f \ll f_L \text{ 时, } 20\lg|\dot{A}_u| \approx -20\lg\frac{f_L}{f} = 20\lg\frac{f}{f_L}$$

$$\text{当 } f = f_L \text{ 时, } 20\lg|\dot{A}_u| = -20\lg\sqrt{2} = -3\text{dB}$$

## 对数幅频特性:

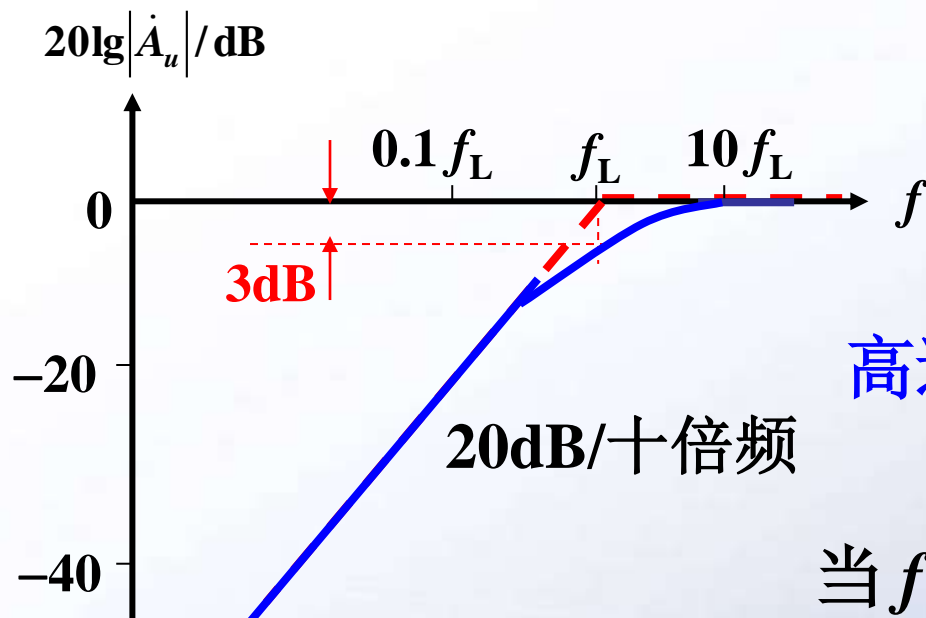


图 4.1.3 (a) 幅频特性

最大误差为 3 dB,  
发生在  $f = f_L$  处

## 实际幅频特性曲线:

### 高通特性:

当  $f \geq f_L$  (高频),  $|\dot{A}_u| \approx 1$

当  $f < f_L$  (低频),  $|\dot{A}_u| < 1$

且频率愈低,  $|\dot{A}_u|$  的值愈小,  
低频信号不能通过。

## 对数相频特性

相角:  $\varphi = 90 - \arctan\left(\frac{f}{f_L}\right)$

$f \gg f_L$  时,  $\varphi \approx 0^\circ$ ;  
 $f \ll f_L$  时,  $\varphi \approx 90^\circ$ ;  
 $f = f_L$  时,  $\varphi = 45^\circ$

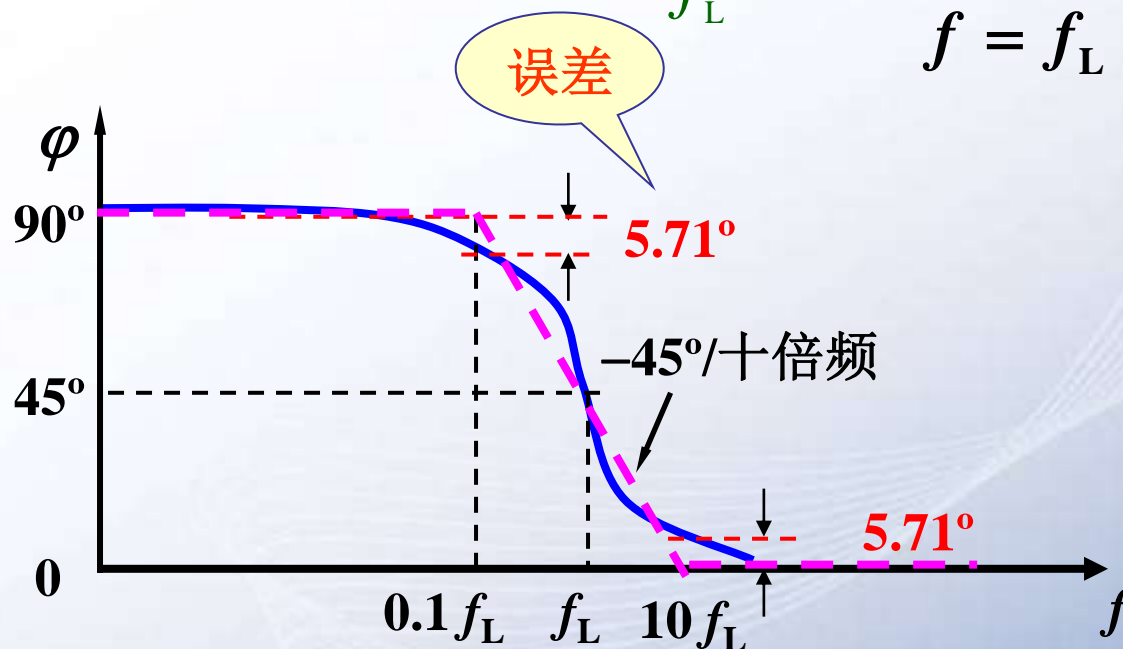


图 5.1.3(a) 相频特性

在低频段, 高通电路产生  $0 \sim 90^\circ$  的超前相移。



## 二、RC 低通电路的波特图

$$\dot{A}_u = \frac{\frac{1}{j\omega C}}{R + \frac{1}{j\omega C}} = \frac{1}{1 + j\omega RC}$$

$$\text{令： } f_H = \frac{1}{2\pi\tau_H} = \frac{1}{2\pi RC}$$

$f_H$  称为上限截止频率

$$\text{则： } \dot{A}_u = \frac{1}{1 + j\omega\tau_H} = \frac{1}{1 + j\frac{f}{f_H}}$$

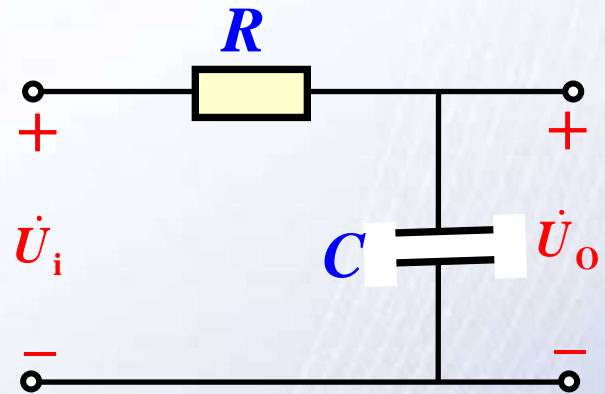
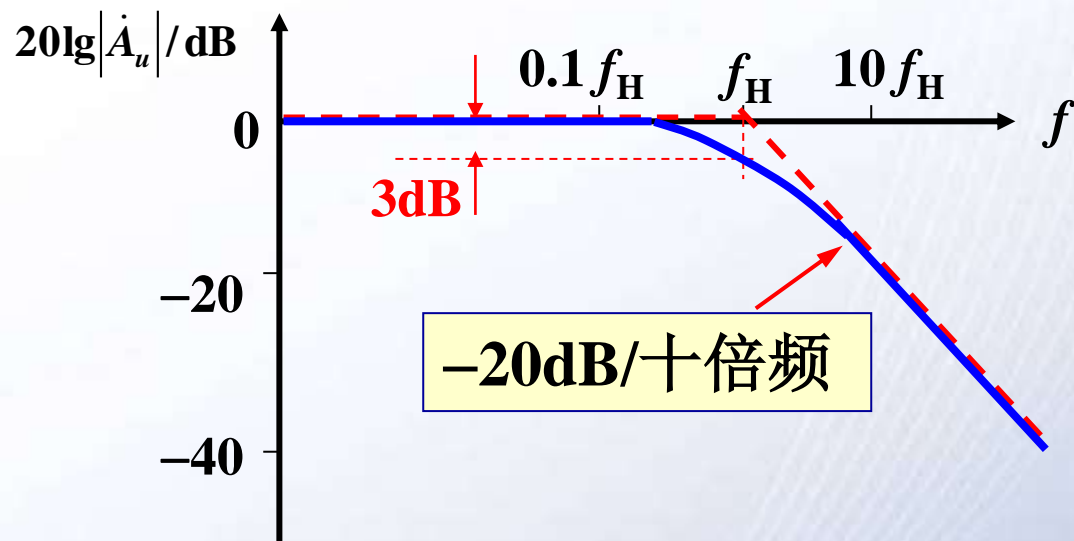


图 4.1.2 RC 低通电路图

$$|\dot{A}_u| = \frac{1}{\sqrt{1 + \left(\frac{f}{f_H}\right)^2}}$$

$$\varphi = -\arctan\left(\frac{f}{f_H}\right)$$

对数幅频特性:



对数相频特性:

在高频段，  
低通电路产生  
 $0\sim 90^\circ$  的滞后  
相移。

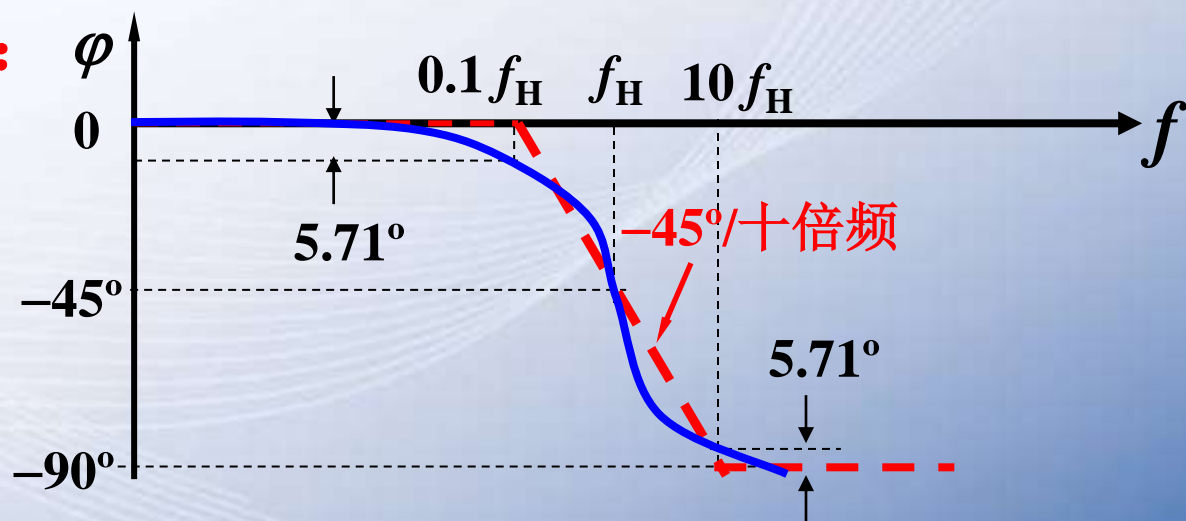
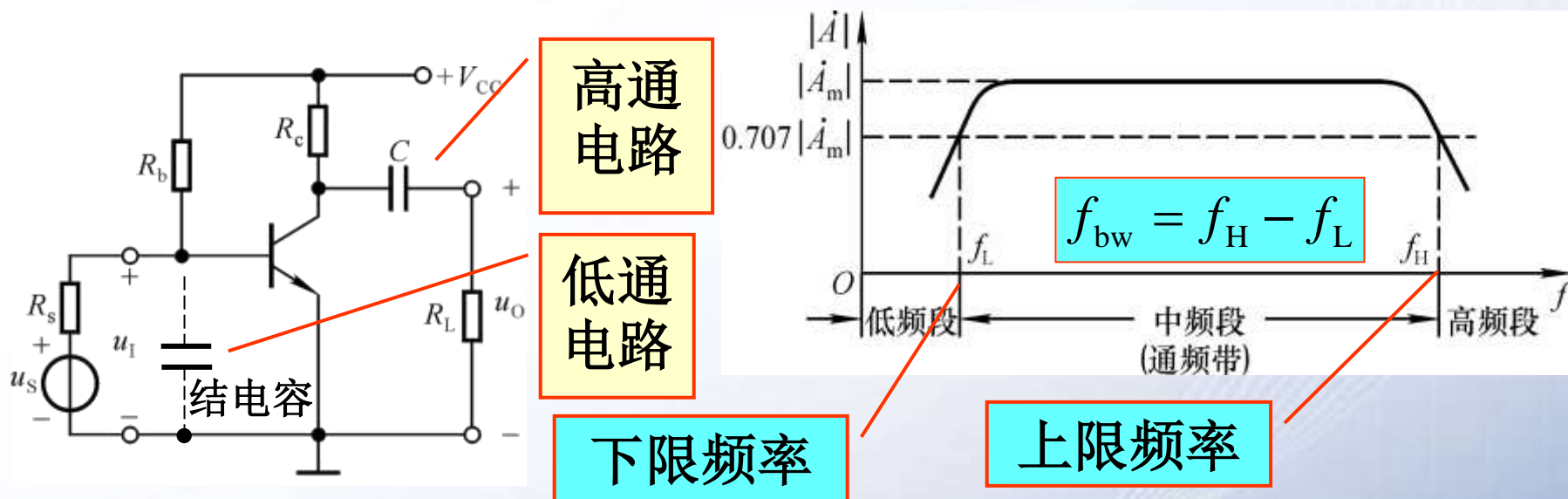


图 4.1.3(b) 低通电路的波特图

### 三、放大电路中的频率参数



在低频段，随着信号频率逐渐降低，耦合电容、旁路电容等的容抗增大，使动态信号损失，放大能力下降。

在高频段，随着信号频率逐渐升高，晶体管极间电容和分布电容、寄生电容等杂散电容的容抗减小，使动态信号损失，放大能力下降。

## § 4.2 晶体管的高频等效电路

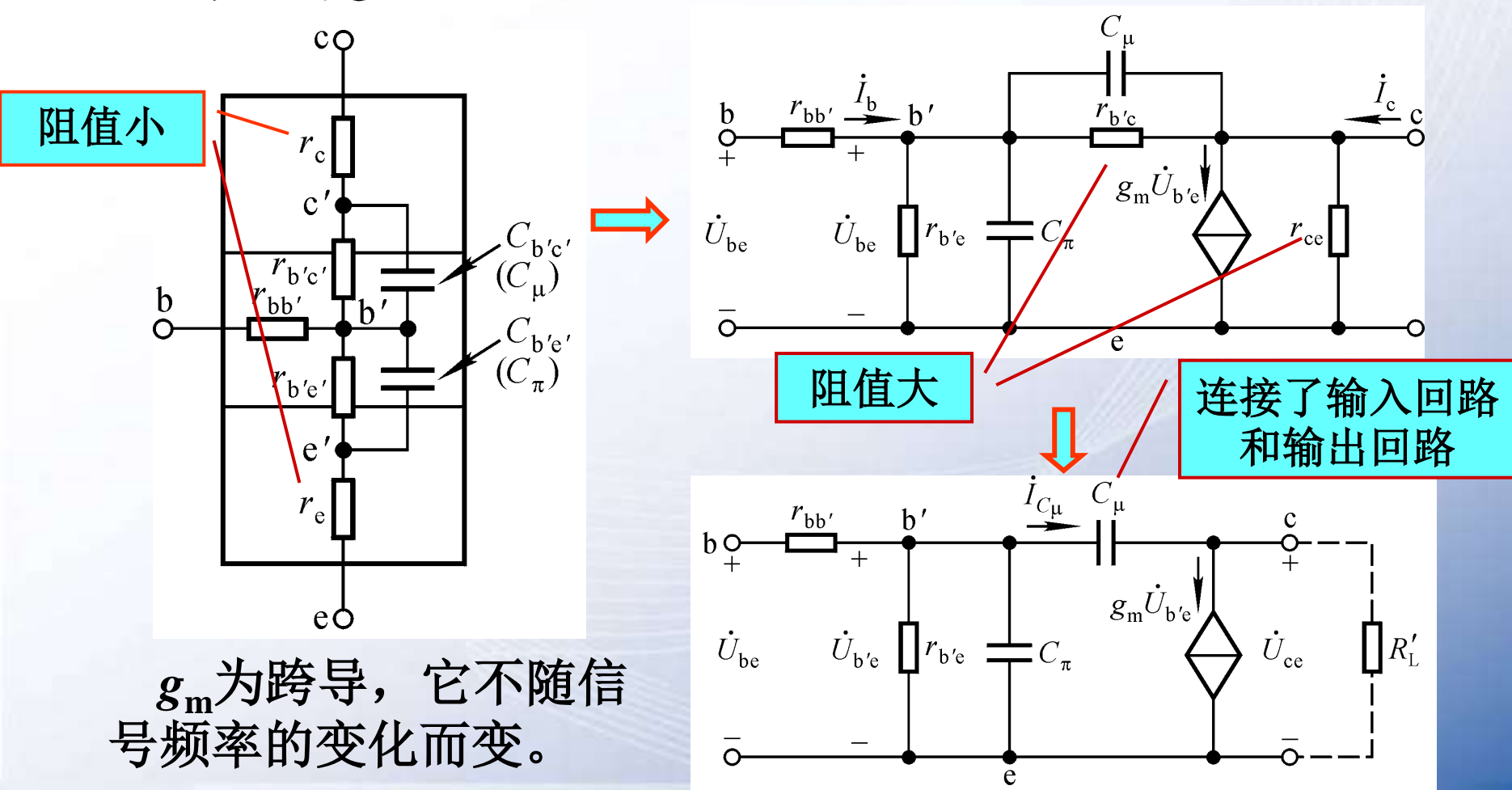
一、混合 $\pi$ 模型

二、电流放大倍数的频率响应

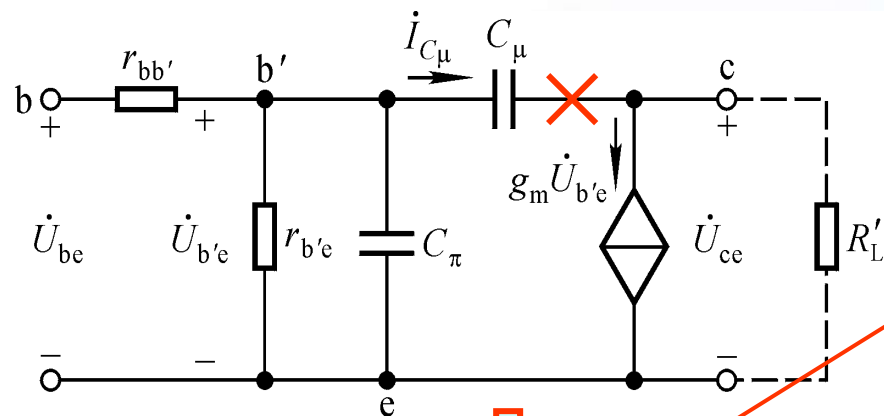
三、晶体管的频率参数

# 一、混合 $\pi$ 模型

1. 模型的建立：由结构而建立，形状像 $\pi$ ，参数量纲各不相同。



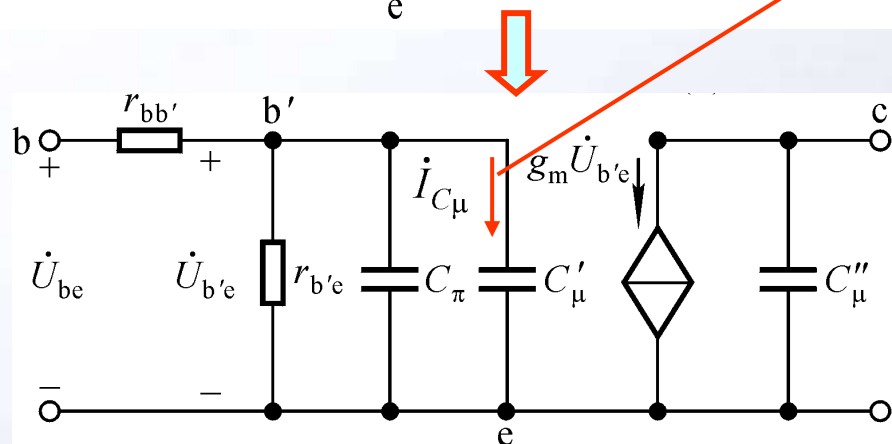
## 2. 混合π模型的单向化（使信号单向传递）



$$i_{C\mu} = \frac{\dot{U}_{b'e} - \dot{U}_{ce}}{X_{C\mu}} = (1-k) \frac{\dot{U}_{b'e}}{X_{C\mu}}$$

$$k \approx -g_m R'_L$$

等效变换后电流不变

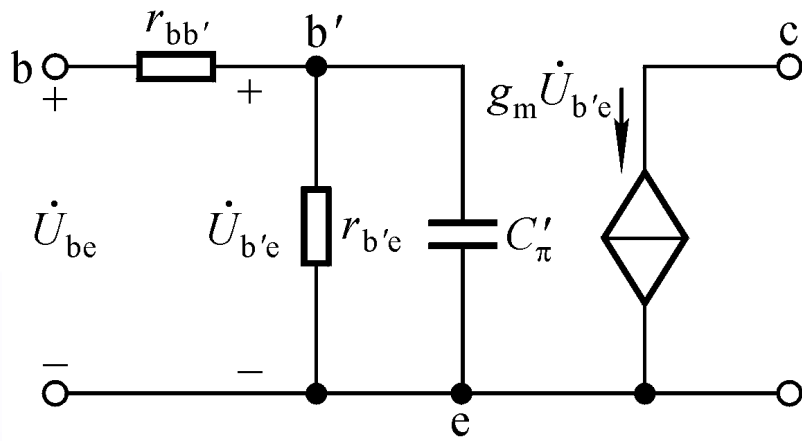


$$X_{C'\mu} = \frac{\dot{U}_{b'e}}{i_{C\mu}} \approx \frac{X_{C\mu}}{1 + g_m R'_L}$$

$$C'_\mu \approx (1 + g_m R'_L) C_\mu$$

$$\text{同理可得, } C''_\mu \approx \frac{k-1}{k} \cdot C_\mu$$

### 3. 晶体管简化的高频等效电路



为什么不考虑  $C_\mu''$ ?

$r_{bb'}$ 、 $C_\mu$  可从手册查得

$$r_{b'e} = (1 + \beta_0) \frac{U_T}{I_{EQ}}$$

$$C'_\pi = C_\pi + C'_\mu$$

$$\beta_0 \dot{I}_b = g_m \dot{U}_{b'e} = g_m \dot{I}_b r_{b'e}$$

$$g_m = \frac{\beta_0}{r_{b'e}} \approx \frac{I_{EQ}}{U_T}$$

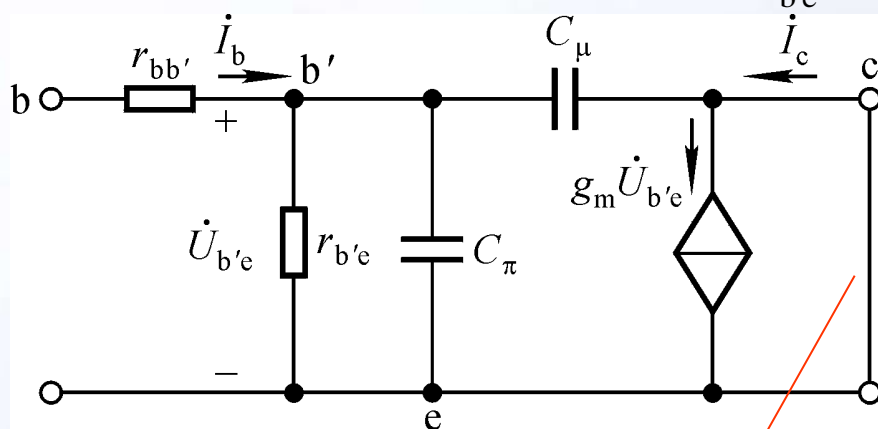
## 二、电流放大倍数的频率响应

### 1. 适于频率从0至无穷大的表达式

$$\beta = \frac{\dot{I}_c}{\dot{I}_b} \Big|_{U_{CE}}$$

因为  $k = -g_m R'_L = 0$ , 所以  $C'_\pi = C_\pi + C_\mu$

$$g_m = \frac{\beta_0}{r_{b'e}}$$



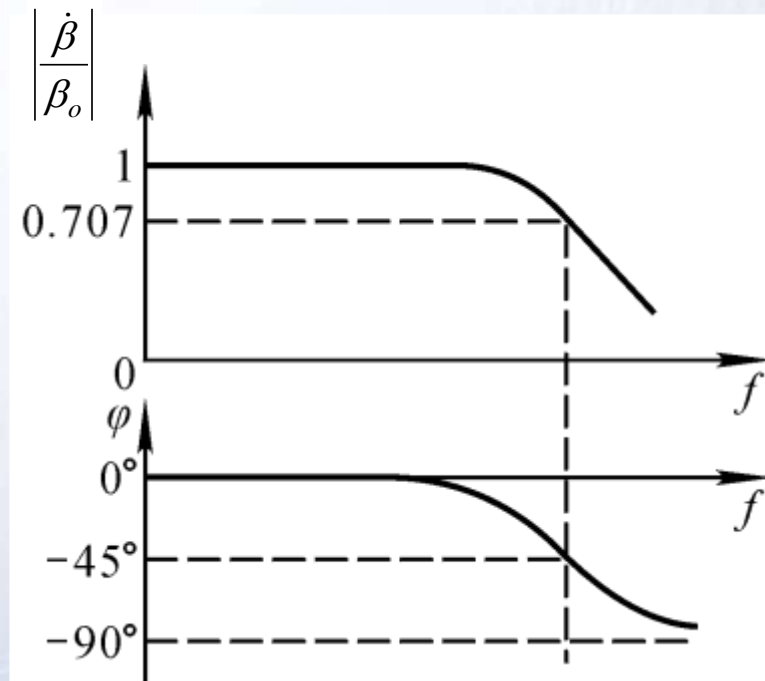
为什么短路?

$$\begin{aligned}\beta &= \frac{g_m \dot{U}_{b'e}}{\dot{U}_{b'e} \left[ \frac{1}{r_{b'e}} + j\omega (C_\pi + C_\mu) \right]} \\ &= \frac{\beta_0}{1 + j \frac{f}{f_\beta}} \\ f_\beta &= \frac{1}{2\pi r_{b'e} (C_\pi + C_\mu)}\end{aligned}$$



## 2. 电流放大倍数的频率特性曲线

$$\dot{\beta} = \frac{\beta_0}{1 + j \frac{f}{f_\beta}} \Rightarrow \begin{cases} |\dot{\beta}| = \frac{\beta_0}{\sqrt{1 + (\frac{f}{f_\beta})^2}} \\ \varphi = -\operatorname{tg}^{-1} \frac{f}{f_\beta} \end{cases}$$

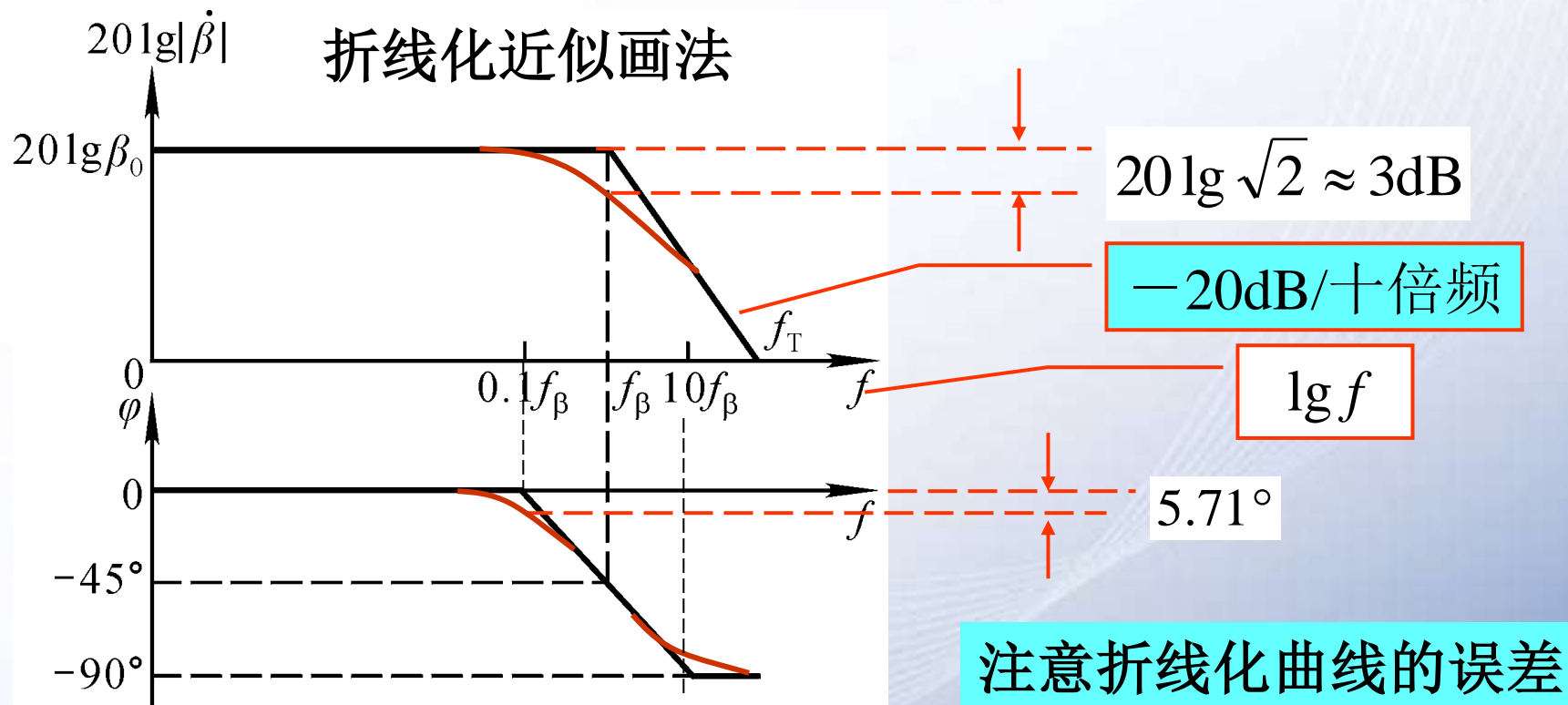


$f \ll f_\beta$  时,  $|\dot{\beta}| \approx \beta_0$ ;

$f = f_\beta$  时,  $|\dot{\beta}| = \frac{\beta_0}{\sqrt{2}} \approx 0.707\beta_0$ ,  $\varphi = -45^\circ$ ;

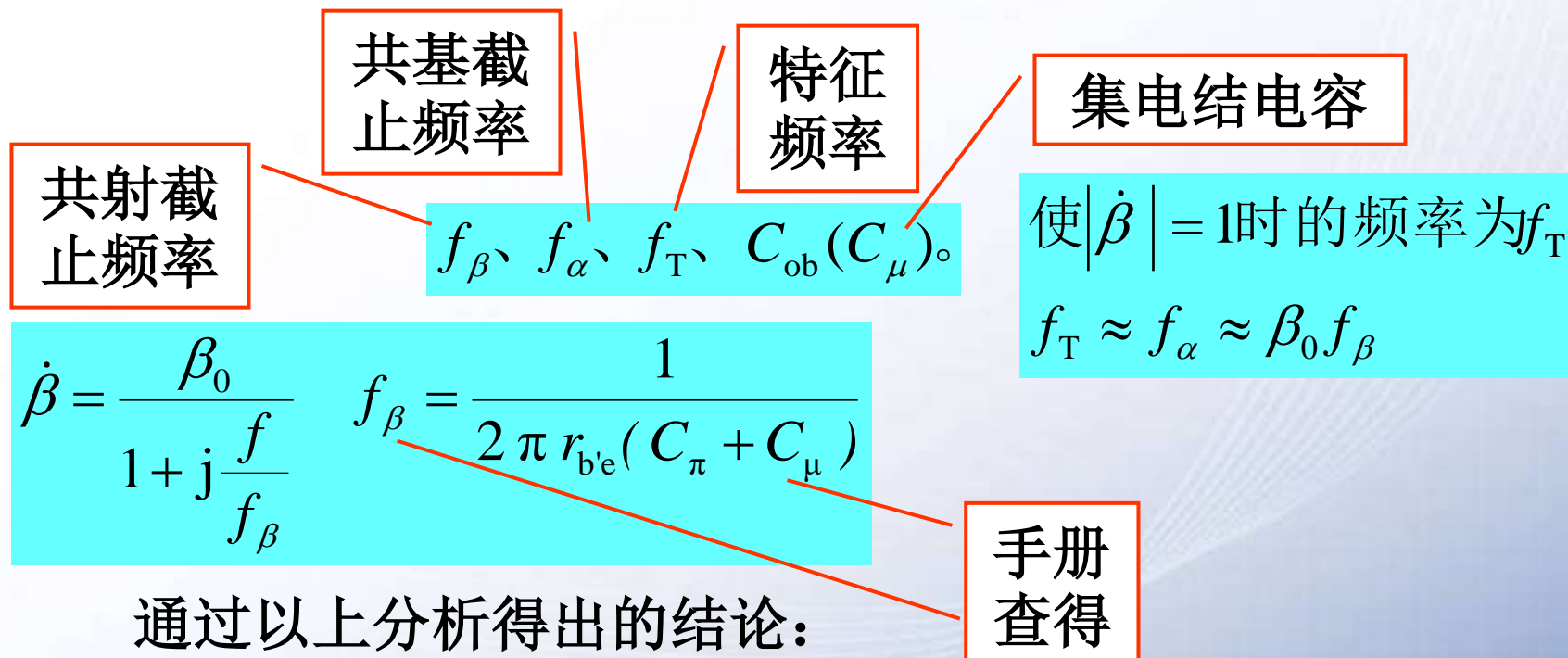
$f \gg f_\beta$  时,  $|\dot{\beta}| \approx \frac{f_\beta}{f} \cdot \beta_0$ ;  $f \rightarrow \infty$  时,  $|\dot{\beta}| \rightarrow 0$ ,  $\varphi \rightarrow -90^\circ$

### 3. 电流放大倍数的波特图：采用对数坐标系



采用对数坐标系，横轴为 $\lg f$ ，可开阔视野；纵轴为 $20\lg|\dot{\beta}|$ ，单位为“分贝”（dB），使得“ $\times$ ” $\rightarrow$ “ $+$ ”。

### 三、晶体管的频率参数



通过以上分析得出的结论：

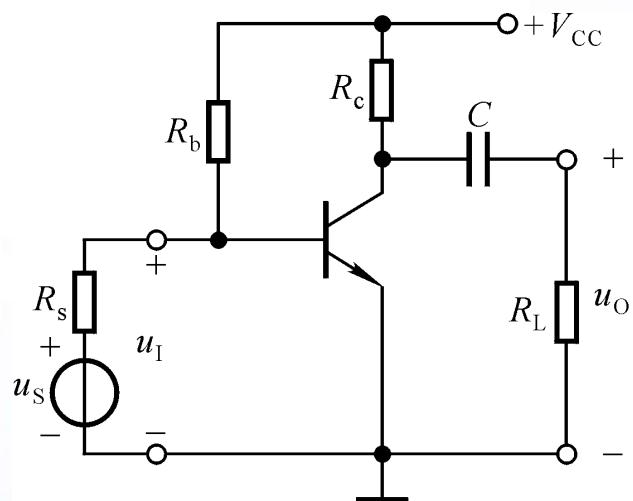
- ① 高频段放大倍数的表达式；
- ② 截止频率与时间常数的关系；
- ③ 波特图及其折线画法；
- ④  $C_\pi$ 的求法。

## § 4.3 放大电路的频率响应

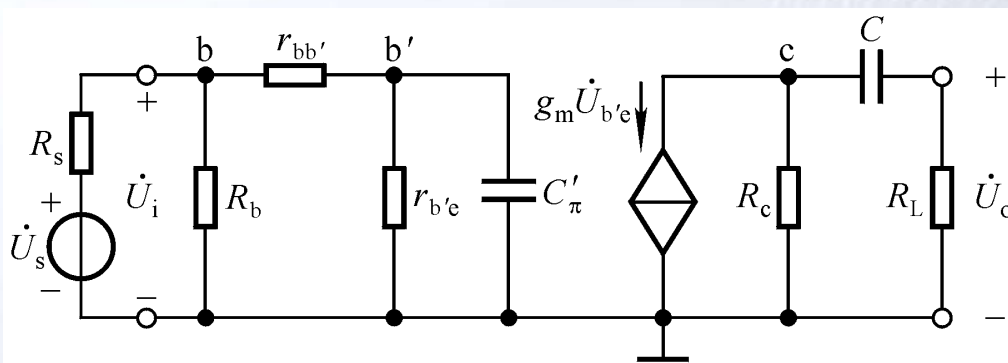
一、单管共射放大电路的频率响应

二、多级放大电路的频率响应

# 一、单管共射放大电路的频率响应



适用于信号频率从 $0 \sim \infty$ 的交流等效电路

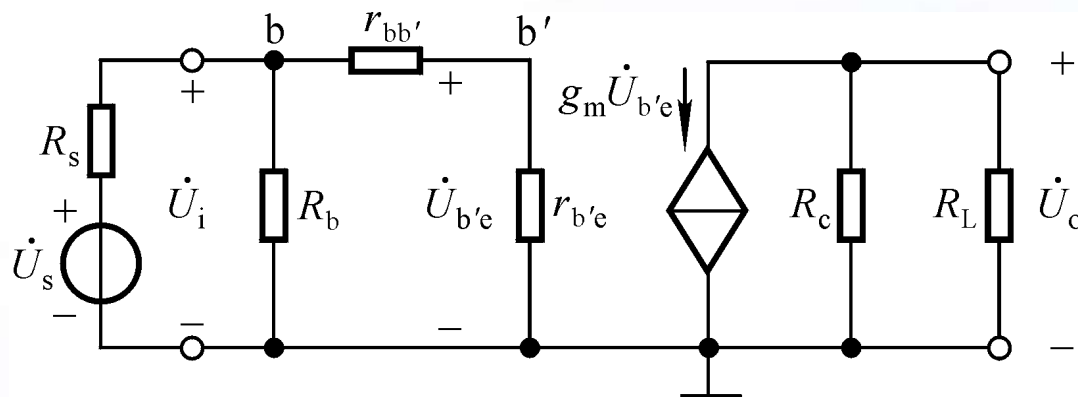


中频段： $C$  短路， $C'_\pi$  开路。

低频段：考虑 $C$  的影响， $C'_\pi$  开路。

高频段：考虑  $C'_\pi$  的影响， $C$  短路。

# 1. 中频电压放大倍数



$$\begin{aligned}\dot{A}_{usm} &= \frac{\dot{U}_o}{\dot{U}_s} \\ &= \frac{\dot{U}_i}{\dot{U}_s} \cdot \frac{\dot{U}_{b'e}}{\dot{U}_i} \cdot \frac{\dot{U}_o}{\dot{U}_{b'e}}\end{aligned}$$

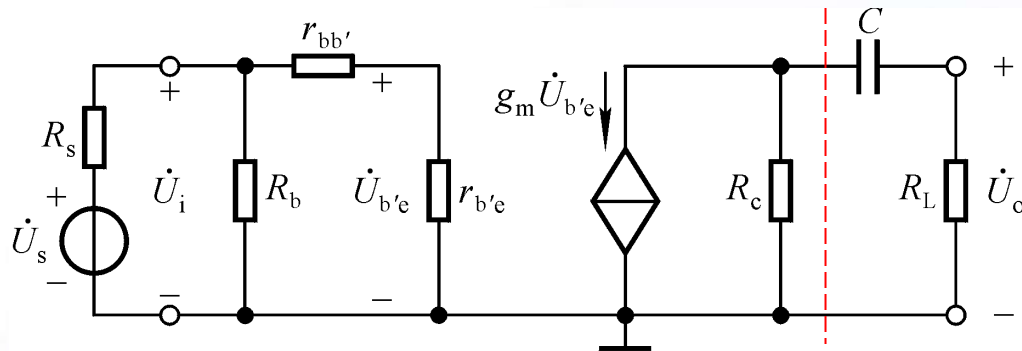
带负载时:

$$\dot{A}_{usm} = \frac{R_i}{R_s + R_i} \cdot \frac{r_{b'e}}{r_{be}} \cdot [-g_m (R_c // R_L)]$$

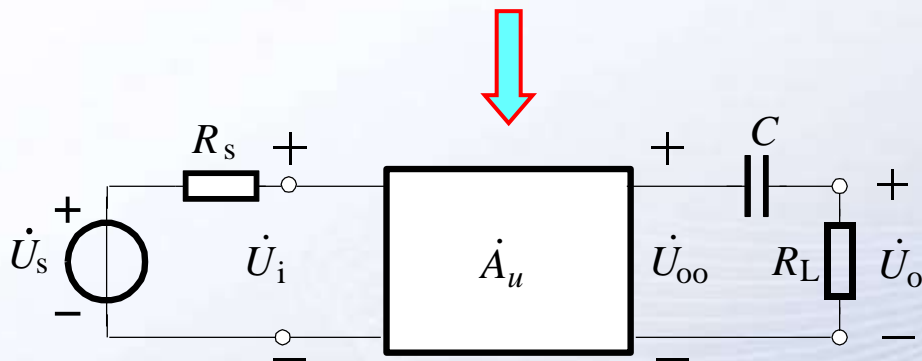
空载时:

$$\dot{A}_{usmo} = \frac{R_i}{R_s + R_i} \cdot \frac{r_{b'e}}{r_{be}} \cdot (-g_m R_c)$$

## 2. 低频电压放大倍数: 定性分析

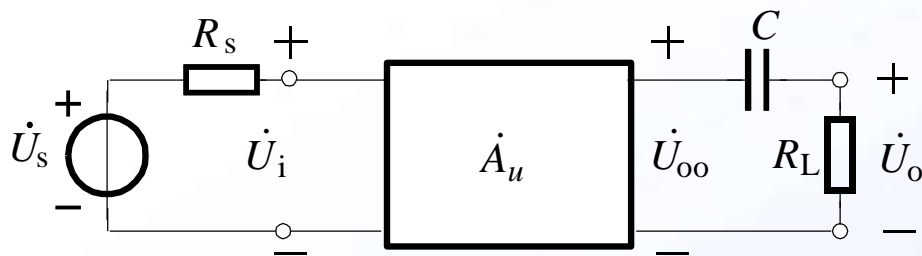


$$\dot{A}_{usmo} = \frac{R_i}{R_s + R_i} \cdot \frac{r_{b'e}}{r_{be}} \cdot (-g_m R_c)$$



$\dot{U}_o$ 超前 $\dot{U}_{oo}$ , 当 $f \rightarrow 0$ 时,  $|\dot{U}_o| \rightarrow 0$ ,  $\dot{U}_o$ 超前 $\dot{U}_{oo} 90^\circ$ 。

## 2. 低频电压放大倍数：定量分析



$$A_{usmo} = \frac{R_i}{R_s + R_i} \cdot \frac{r_{b'e}}{r_{be}} \cdot (-g_m R_c)$$

$$\dot{A}_{usl} = \frac{\dot{U}_o}{\dot{U}_s} = \frac{\dot{U}_{oo}}{\dot{U}_s} \cdot \frac{\dot{U}_o}{\dot{U}_{oo}} = \dot{A}_{usmo} \cdot \frac{R_L}{R_c + \frac{1}{j\omega C} + R_L}$$

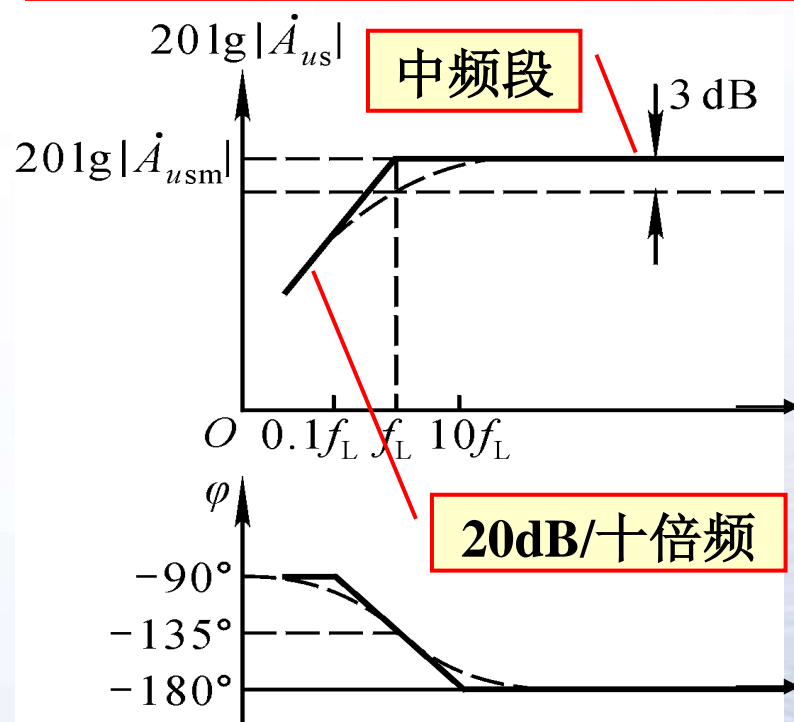
$$\dot{A}_{usl} = \dot{A}_{usmo} \cdot \frac{R_L}{R_c + \frac{1}{j\omega C} + R_L} \cdot \frac{R_c + R_L}{R_c + R_L} = \frac{\dot{A}_{usm}}{1 + \frac{1}{j\omega(R_c + R_L)C}}$$

$$\dot{A}_{usl} = \frac{\dot{A}_{usm}}{1 + f_L/(jf)} = \frac{\dot{A}_{usm}(jf/f_L)}{1 + jf/f_L} \quad f_L = \frac{1}{2\pi(R_c + R_L)}$$



## 2. 低频电压放大倍数：低频段频率响应分析

$$\dot{A}_{usl} = \frac{\dot{A}_{usm} (jf/f_L)}{1 + jf/f_L} \quad f_L = \frac{1}{2\pi(R_c + R_L)C}$$



$$\begin{cases} 20\lg|\dot{A}_{usl}| = 20\lg|\dot{A}_{usm}| - 20\lg \frac{1}{\sqrt{1 + (\frac{f_L}{f})^2}} \\ \varphi = -180^\circ + (90^\circ - \arctan \frac{f}{f_L}) \end{cases}$$

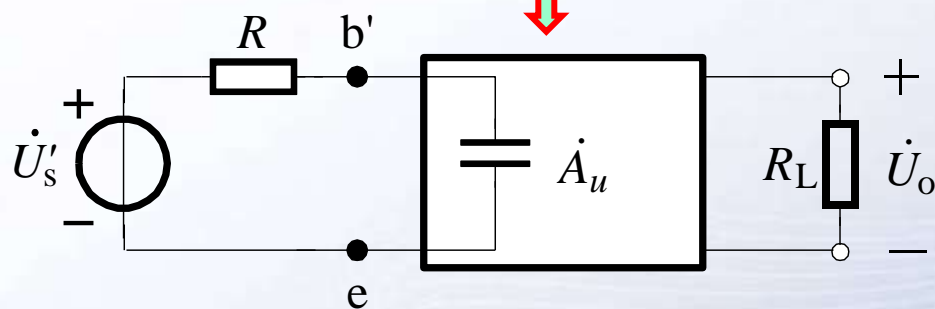
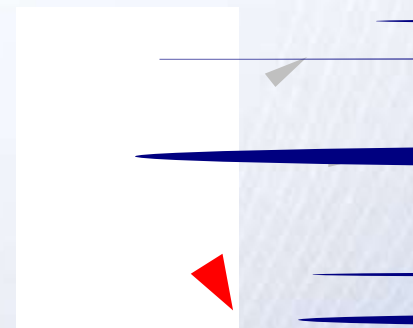
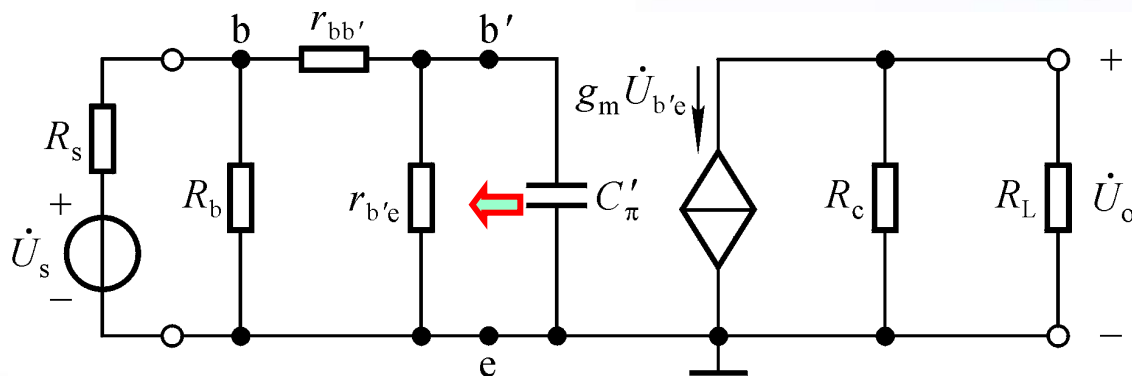
$$f \gg f_L \text{ 时, } 20\lg|\dot{A}_{us}| \approx 20\lg \dot{A}_{usm}$$

$$f = f_L \text{ 时, } 20\lg|\dot{A}_{us}| \text{ 下降 } 3\text{dB}, \quad \varphi = -135^\circ$$

$$f \ll f_L \text{ 时, } 20\lg|\dot{A}_{us}| \approx 20\lg(\dot{A}_{usm} \frac{f_L}{f})$$

$$f \rightarrow 0 \text{ 时, } |\dot{A}_{us}| \rightarrow 0, \quad \varphi \rightarrow -90^\circ.$$

### 3. 高频电压放大倍数：定性分析



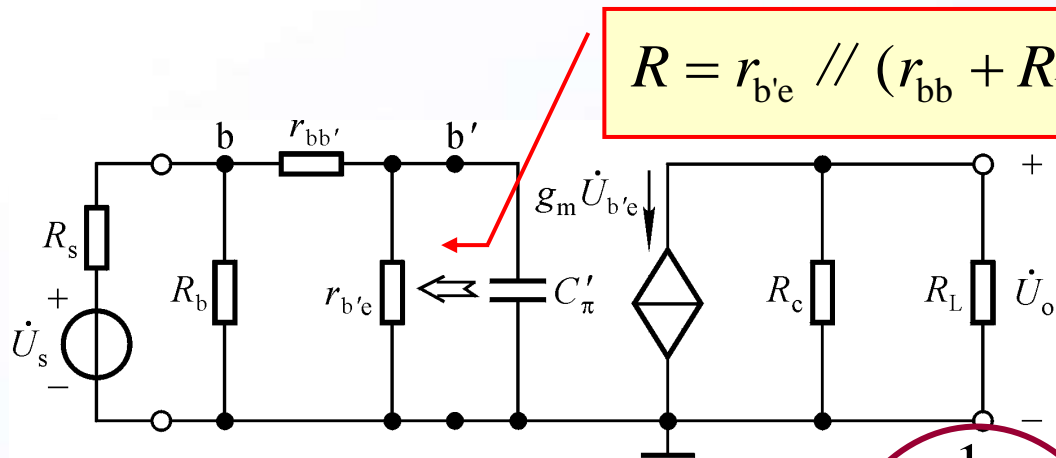
$\dot{U}_{C_\pi}'$  滞后  $U_s'$ ,

当  $f \rightarrow \infty$  时,  $|\dot{U}_{C_\pi}'| \rightarrow 0$ ,

$\dot{U}_{C_\pi}'$  滞后  $U_s' (-90^\circ)$ 。

$$\frac{\dot{U}_s'}{\dot{U}_s} = \frac{\dot{U}_i}{\dot{U}_s} \cdot \frac{\dot{U}_{b'e}}{\dot{U}_i} = \frac{R_i}{R_s + R_i} \cdot \frac{r_{b'e}}{r_{be}}, \quad R = r_{b'e} // (r_{bb} + R_b // R_s)$$

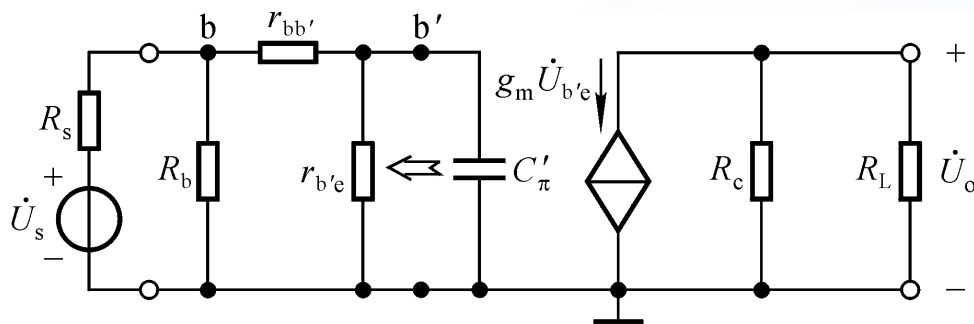
### 3. 高频电压放大倍数：定量分析



$$\dot{A}_{ush} = \frac{\dot{U}_o}{\dot{U}_s} = \frac{\dot{U}_s'}{\dot{U}_s} \cdot \frac{\dot{U}_{C'_\pi}}{\dot{U}_s'} \cdot \frac{\dot{U}_o}{\dot{U}_{C'_\pi}} = \frac{R_i}{R_s + R_i} \cdot \frac{r_{b'e}}{r_{be}} \cdot \frac{1}{R + \frac{1}{j\omega C'_\pi}} \cdot (-g_m R'_L)$$

$$\dot{A}_{ush} = \frac{\dot{U}_o}{\dot{U}_s} = \frac{\dot{A}_{usm}}{1 + j\frac{f}{f_H}} \quad f_H = \frac{1}{2\pi RC'_\pi} = \frac{1}{2\pi [r_{b'e} // (r_{bb'} + R_b // R_s)] C'_\pi}$$

### 3. 高频电压放大倍数：高频段频率响应分析



$$\dot{A}_{ush} = \frac{\dot{U}_o}{\dot{U}_s} = \frac{\dot{A}_{usm}}{1 + j \frac{f}{f_H}}$$

$$f_H = \frac{1}{2\pi [r_{b'e} // (r_{bb'} + R_b // R_s)] C'_\pi}$$

$$\begin{cases} 20\lg|\dot{A}_{ush}| = 20\lg|\dot{A}_{um}| - 20\lg\sqrt{1 + \left(\frac{f}{f_H}\right)^2} \\ \varphi = -180^\circ - \arctan\frac{f}{f_H} \end{cases}$$

$f \ll f_H$ 时,

$$20\lg|\dot{A}_{ush}| \approx 20\lg|\dot{A}_{usm}|;$$

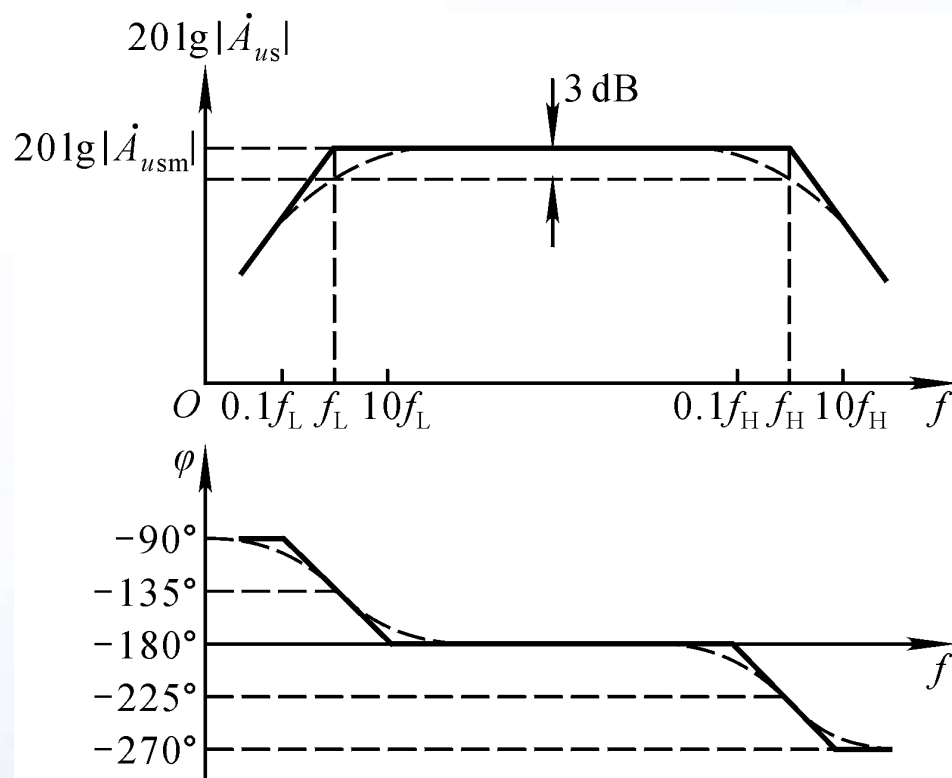
$f = f_H$ 时,

$$20\lg|\dot{A}_{ush}| \text{下降} 3\text{dB}, \quad \varphi = -225^\circ$$

$f \gg f_H$ 时,  $f$  每增大10倍,  $20\lg|\dot{A}_{ush}|$  下降20dB;

$$f \rightarrow \infty \text{时}, |\dot{A}_{ush}| \rightarrow 0, \quad \varphi \rightarrow -270^\circ.$$

## 4. 电压放大倍数的波特图



全频段放大倍数表达式:

$$\begin{aligned}\dot{A}_{us} &= \frac{\dot{U}_o}{\dot{U}_s} \\ &= \frac{\dot{A}_{usm}(j\frac{f}{f_L})}{(1+j\frac{f}{f_L})(1+j\frac{f}{f_H})} \\ &= \frac{\dot{A}_{usm}}{(1+\frac{f_L}{jf})(1+j\frac{f}{f_H})}\end{aligned}$$

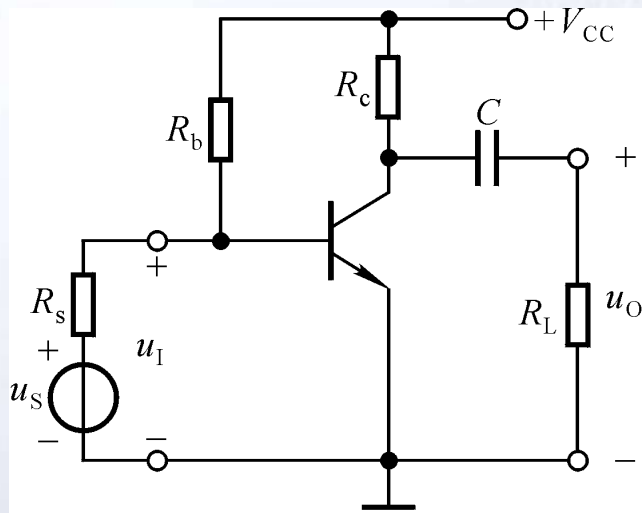
## 5. 带宽增益积：定性分析

$$\dot{A}_{usm} = \frac{R_i}{R_s + R_i} \cdot \frac{r_{b'e}}{r_{be}} \cdot [-g_m (R_c // R_L)]$$

$$f_{bw} = f_H - f_L \approx f_H$$

$$f_H = \frac{1}{2\pi [r_{b'e} // (r_{bb'} + R_b // R_s)] C_\pi'}$$

$$C_\pi' \approx C_\pi + (1 + g_m R_L') C_\mu$$



带宽增益积  $|\dot{A}_{um} f_{bw}| \approx |\dot{A}_{um} f_H|$

$$\begin{cases} g_m R_L' \uparrow \rightarrow C_\pi' \uparrow \rightarrow f_H \downarrow \\ g_m R_L' \uparrow \rightarrow |\dot{A}_{um}| \uparrow \end{cases}$$

矛盾

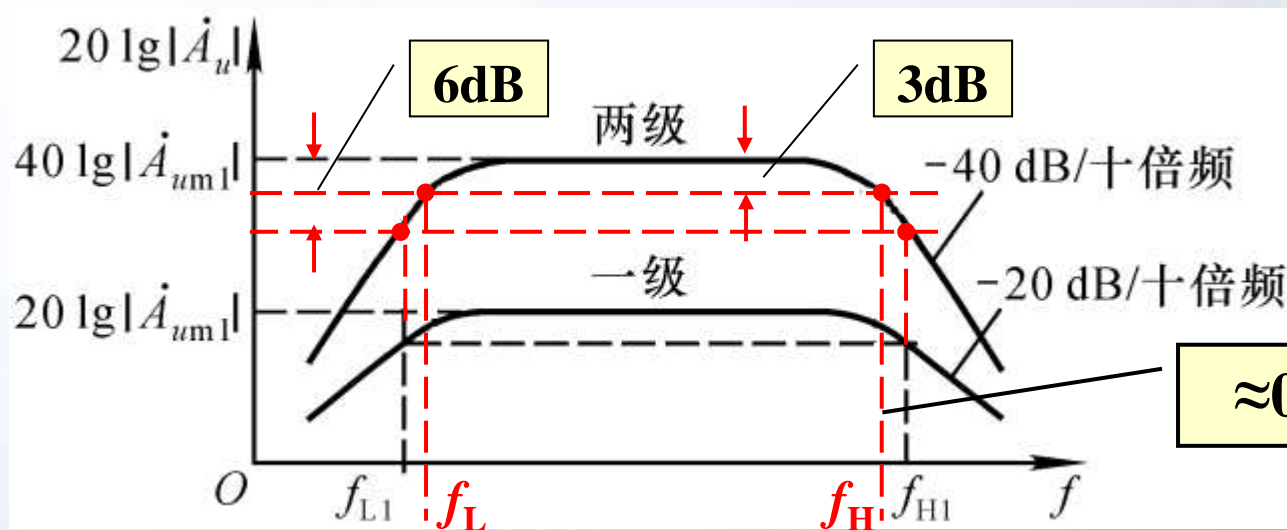
当提高增益时，  
带宽将变窄；反  
之，增益降低，  
带宽将变宽。

对于大多数放大电路，增益提高，带宽都将变窄。  
要想制作宽频带放大电路需用高频管，必要时需采用共基电路。

## 二、多级放大电路的频率响应

1. 讨论：一个两级放大电路每一级（已考虑了它们的相互影响）的幅频特性均如图所示。

$$20\lg|\dot{A}_u| = 20\lg|\dot{A}_{u1}| + 20\lg|\dot{A}_{u2}| = 40\lg|\dot{A}_{u1}|$$



$f_L > f_{L1}$ ,  $f_H < f_{H1}$ , 频带变窄!